

Спин-зависимая локализация электронов в кристаллах

Л. И. Магарилл¹⁾, А. В. Чаплик

Институт физики полупроводников Сибирского отд. РАН, 630090 Новосибирск, Россия

Поступила в редакцию 11 января 2005 г.

Теоретически исследованы возможности пространственной локализации спин-поляризованных электронов в двумерных и трехмерных системах за счет спин-орбитального взаимодействия. На примерах простейших одномерных потенциалов показано, что можно локализовать электроны с определенной спинальностью, осуществив тем самым сепарацию носителей по спину. Изучено влияние магнитного поля и показано, что от него существенно зависит положение связанных уровней.

PACS: 71.70.Ej, 73.50.Jt, 73.63.Hs

Последние годы отмечены растущим интересом к группе явлений в низкоразмерных системах, относящихся к области, называемой “спинtronика”. Основную идею программы этих исследований можно выразить словами: “спин вместо заряда”, то есть речь идет о поисках различных способов управления спиновой степенью свободы подвижных носителей. С этим связывают надежды на появление новых приборов твердотельной электроники и новых применений таких устройств, прежде всего для квантовых вычислений. Ясно, что на этом пути необходимо научиться создавать спиновую поляризацию в электронной системе и адресно воздействовать на носители с определенной проекцией спина, или, точнее, с заданной спинальностью. Помимо очевидной возможности поляризовать электроны за счет поглощения циркулярнополяризованной электромагнитной волны, рассматривалась спиновая поляризация статическим электрическим полем (или постоянным током) за счет спин-орбитального (СО) взаимодействия [1–3], спин-гальванический эффект [4] и спин-зависимое туннелирование электронов через барьер [5].

В настоящей работе мы исследуем возможность существования пространственно локализованного состояния электронов лишь с одной определенной проекцией спина; проще говоря, мы ищем ситуации, в которых, например, спин-up электрон связан, а спин-down свободен. Имеется много подобных случаев в атомной физике, где причиной спиновой сепарации выступает обменное взаимодействие. Простейший пример – отрицательные ионы щелочей и галогенов: спин “лишнего” электрона должен компенсировать спин электронной оболочки атома. Мы, однако, будем рассматривать одиночественную задачу, и причиной разного поведения электронов разной спи-

ральности будет СО взаимодействие. Мы рассмотрим последовательно 2D и 3D случаи, а также выясним влияние магнитного поля на локализованные и делокализованные состояния.

1. Двумерная система. Гамильтониан Рашба. Электронный газ в двумерной ориентированной системе (нормали к плоскости системы \mathbf{n} и $-\mathbf{n}$ не эквивалентны) описывается гамильтонианом Рашба [6, 7]

$$\hat{H} = p^2/2m + \alpha(\sigma[\mathbf{p} \times \mathbf{n}]), \quad (1)$$

где $\hat{\mathbf{p}} = (\hat{p}_x, \hat{p}_y)$ – оператор 2D импульса электрона, σ – матрицы Паули, α – эффективная константа СО взаимодействия; мы полагаем $\hbar = 1$. Рассмотрим ситуацию, когда в системе имеется одномерная потенциальная яма вида $U(x) = -U_0\delta(x)$. Нашей задачей является нахождение связанных состояний. Ищем решение уравнения Шредингера $(\hat{H} + U)\Psi = E\Psi$ в виде

$$\Psi(x, y) = \frac{e^{ip_y y}}{\sqrt{L}} \begin{pmatrix} \psi_1(x) \\ \psi_2(x) \end{pmatrix}. \quad (2)$$

Здесь L – нормировочный размер системы в y -направлении. Компоненты спинора $\psi_{1,2}$ удовлетворяют системе уравнений

$$\begin{aligned} -\frac{1}{2m}\psi_{1,2}'' + \alpha p_y \psi_{2,1} \pm \alpha \psi_{2,1}' - U_0\delta(x)\psi_{1,2} &= \\ = (E - \frac{p_y^2}{2m})\psi_{1,2} \end{aligned} \quad (3)$$

(штрих означает дифференцирование по x). Решением системы (3) является суперпозиция экспонент, обращающихся в нуль при $|x| \rightarrow \infty$:

$$\begin{aligned} \psi_{1,2}(x) &= A_{1,2}^+ e^{-\xi_+ x} + A_{1,2}^- e^{-\xi_- x} & (x > 0), \\ \psi_{1,2}(x) &= B_{1,2}^+ e^{\xi_+ x} + B_{1,2}^- e^{\xi_- x} & (x < 0), \end{aligned} \quad (4)$$

¹⁾e-mail: levm@isp.nsc.ru

где

$$\xi_{\pm} = \sqrt{-(2m\varepsilon + 2k^2) \pm 2|k|\sqrt{2m\varepsilon + k^2 + p_y^2}}. \quad (5)$$

Здесь $\varepsilon = E - p_y^2/2m$, $k = ma$. Нетрудно убедиться, что показатели экспонент ξ_{\pm} имеют положительную вещественную часть при $|p_y| > |k|$ для $\varepsilon < -|p_yk|/m$, а при $|p_y| < |k|$ для $\varepsilon < -(k^2 + p_y^2)/2m$.

Коэффициенты в (4) должны находиться из условия непрерывности волновой функции в точке $x = 0$ и условия на ее производную в этой точке:

$$\begin{aligned} \psi_{1,2}(+0) &= \psi_{1,2}(-0); \\ \psi'_{1,2}(+0) - \psi'_{1,2}(-0) + 2U\psi_{1,2}(0) &= 0 \end{aligned} \quad (6)$$

($U \equiv mU_0$). В результате получаем систему восьми уравнений на коэффициенты $A_{1,2}^{\pm}, B_{1,2}^{\pm}$. Спектр локализованных состояний нужно определять из условия обращения детерминанта этой системы в нуль. Детерминант дается выражением

$$\begin{aligned} D = 16(2m\varepsilon + p_y^2) &\left([U^2 - (\xi_+ + \xi_-)U] \times \right. \\ &\times (m\varepsilon + p_y^2 - \sqrt{(m\varepsilon)^2 - p_y^2k^2}) + 2(2m\varepsilon + k^2 + p_y^2) \times \\ &\left. \times \sqrt{(m\varepsilon)^2 - p_y^2k^2} \right). \end{aligned} \quad (7)$$

Функция $D(\varepsilon)$ имеет не зависящий от мощности δ -потенциала корень $\varepsilon = -p_y^2/2m$, а при $|p_y| > |k|$ еще один корень $\varepsilon = -(k^2 + p_y^2)/2m$. Анализ показывает, что эти корни являются паразитными. Если выбрать $\varepsilon = -p_y^2/2m$, две из введенных выше восьми констант $A_{1,2}^{\pm}, B_{1,2}^{\pm}$ оказываются равными нулю, после чего условий сшивки оказывается больше, чем оставшихся свободными констант. В случае второго паразитного корня мы попадаем в ситуацию вырожденных корней характеристического уравнения. Строя решение по соответствующему правилу, убеждаемся, что получившийся детерминант системы уравнений при линейно независимых решениях не обращается в нуль при $\varepsilon = -(k^2 + p_y^2)/2m$. Обсуждаемые корни могут стать актуальными лишь при определенных соотношениях между параметрами задачи p_y, U и k . Можно показать, что выполнение этих соотношений соответствует просто пересечению ветвей спектра локализованных состояний и парабол $-p_y^2/2m, -(p_y^2 + k^2)/2m$.

На рис.1 приведены результаты численного расчета подзон локализованных состояний $\varepsilon_{\pm 1}(p_y) = \varepsilon_{\pm 1}(-p_y)$ при различных значениях параметра СО взаимодействия k . Видно, что верхняя ветвь спектра обрывается при некоторых значениях импульса

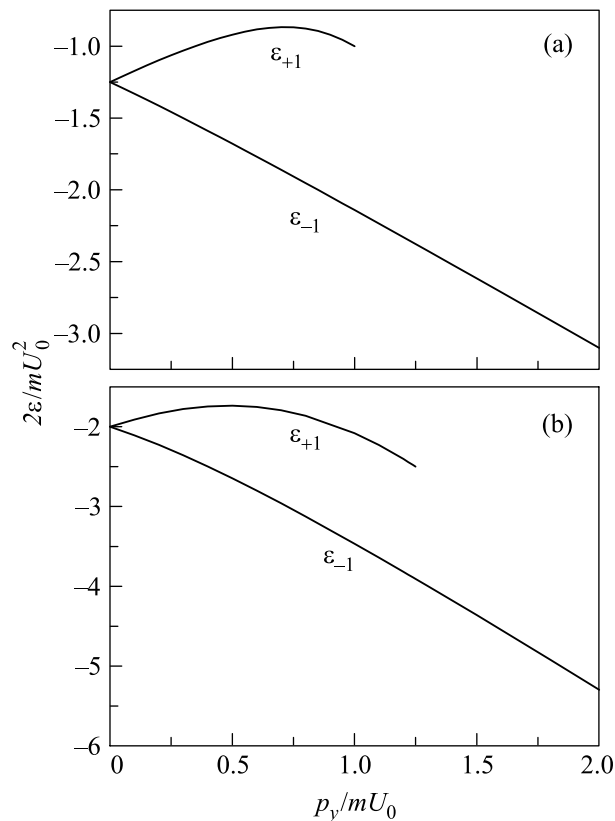


Рис.1. Поведение локализованных состояний как функций p_y : (a) $\alpha = 0.5U_0$; (b) $\alpha = U_0$

$p_y = \pm p_c$. Это происходит тогда, когда величина ε_{+1} достигает значения $-p_c|k|/m$. При этом ξ_- становится равным нулю, и соответствующая волновая функция делокализуется. Для p_c нетрудно найти явное выражение:

$$p_c = \frac{U^2 + 4k^2}{4|k|}. \quad (8)$$

При заданном U минимальное значение p_c достигается при $|k| = U/2$ и равно U .

На рис.2 представлены зависимости $\varepsilon_{\pm 1}$ от k при фиксированном значении импульса p_y . Итак, отрицательный уровень энергии δ -образной 1D ямы в бесспиновой задаче расщепляется СО взаимодействием. Этот эффект, как и положено, существенно зависит от импульса p_y свободного движения по оси y и исчезает при $p_y = 0$. Существует критический импульс p_c такой, что при $|p_y| > p_c$ связанными в яме остаются лишь электроны одной определенной спиральности.

2. Трехмерная система. Гамильтониан Дрессельхауз. В этом разделе мы рассмотрим электронный газ в объемном нецентроГиНверсном полупроводнике A_3B_5 с учетом СО взаимодействия в присутствие

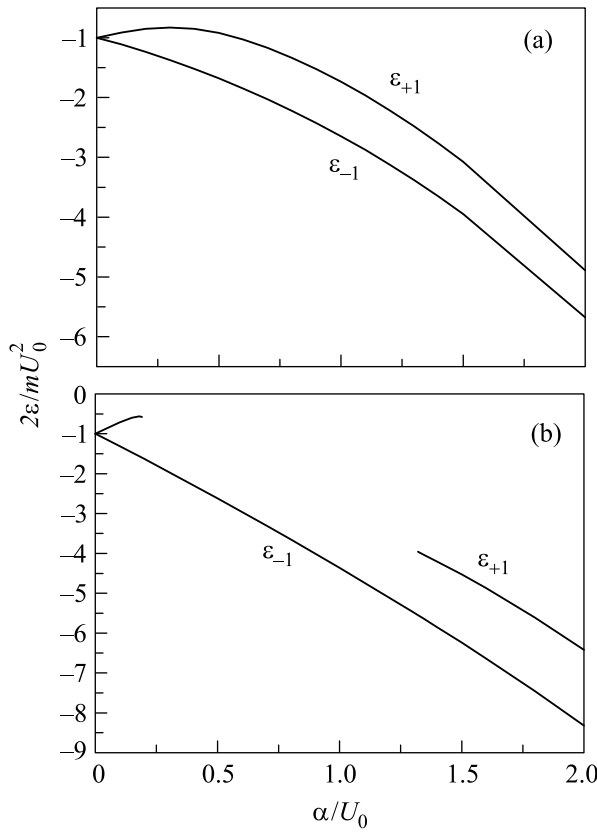


Рис.2. Зависимость энергий локализованных состояний от константы СО взаимодействия при фиксированном значении импульса p_y : (а) $p_y = 0.5mU_0$; (б) $p_y = 1.5mU_0$. В области разрыва на рис.(б) локализованные состояния отсутствуют

одномерной δ -функциональной ямы $-U_0\delta(z)$. Такая система описывается (в системе координат, привязанных к главным осям кристалла) гамильтонианом вида [8, 7]

$$\hat{H} = \frac{\mathbf{p}_{\parallel}^2}{2m} + \frac{p_z^2}{2m} + \gamma[(\sigma_y p_y - \sigma_x p_x)p_z^2 + \sigma_z(p_x^2 - p_y^2)p_z + \sigma_x(p_x p_y^2 - p_y p_x^2)] - U_0\delta(z). \quad (9)$$

Кубическая по импульсу часть гамильтониана соответствует СО взаимодействию и характеризуется эффективным зонным параметром γ . В (9) введено обозначение $\mathbf{p}_{\parallel} = (p_x, p_y)$. Необходимо отметить, что кубические члены в (9) малы по сравнению с квадратичными. Ищем решение в виде

$$\Psi(\mathbf{r}) = \frac{e^{i\mathbf{p}_{\parallel}\mathbf{r}_{\parallel}}}{\sqrt{S}} \begin{pmatrix} \psi_1(z) \\ \psi_2(z) \end{pmatrix} \quad (10)$$

(S – нормировочная площадь системы в плоскости (x, y) ; $\mathbf{r}_{\parallel} = (x, y)$). Функции $\psi_{1,2}$ удовлетворяют системе уравнений

$$-\psi_{1,2}'' + 2m\gamma p_{\pm}\psi_{2,1}'' \mp i2m\gamma(p_x^2 - p_y^2)\psi_{1,2}' \pm i2m\gamma p_x p_y p_{\mp}\psi_{2,1} - 2mU_0\delta(z)\psi_{1,2} = 2m\varepsilon\psi_{1,2}, \quad (11)$$

где теперь штрих означает дифференцирование по z , а $\varepsilon = E - p_{\parallel}^2/2m$; $p_{\pm} = p_x \pm ip_y$. Функции $\psi_{1,2}$ должны удовлетворять условиям, аналогичным (6):

$$\begin{aligned} \psi_{1,2}(+0) &= \psi_{1,2}(-0); \\ \psi_{1,2}'(+0) - \psi_{1,2}'(-0) + 2U\psi_{1,2}(0) + \\ &+ 2m\gamma p_{\pm}[\psi_{2,1}'(+0) - \psi_{2,1}'(-0)] = 0. \end{aligned} \quad (12)$$

Характеристическое уравнение для системы (3) имеет вид:

$$(\lambda^2 + 2m\varepsilon)^2 + 4m^2\gamma^2[\lambda^2(p_x^2 - p_y^2)^2 - p_{\parallel}^2\lambda^4 - p_x^2 p_y^2 p_{\parallel}^2 - 4p_x^2 p_y^2 \lambda^2] = 0. \quad (13)$$

Рассмотрим сначала случай $p_x = p_y = p_{\parallel}/\sqrt{2}$. В этом случае уравнение (13) имеет корни

$$\lambda_{1,2} = \pm \sqrt{\frac{-4m\varepsilon + \delta p_{\parallel}^2}{2(1 - \delta)}} \equiv \pm\xi_+, \quad (14)$$

$$\lambda_{3,4} = \pm \sqrt{\frac{-4m\varepsilon - \delta p_{\parallel}^2}{2(1 + \delta)}} \equiv \pm\xi_-. \quad (15)$$

Здесь $\delta = 2m\gamma p_{\parallel} \ll 1$, что соответствует упомянутой выше малости кубического члена. При $\varepsilon < 0$ и $|\varepsilon| > p_{\parallel}^2\delta/4m$ корни характеристического уравнения вещественны. Локализованные состояния нужно искать аналогично (4). Для коэффициентов $A_{1,2}, B_{1,2}$ снова получаем систему уравнений, из равенства нулю детерминанта которой определяется спектр. Корни детерминанта находятся аналитически, и для двух подзон мы получаем

$$\varepsilon_{\pm 1}(p_{\parallel}) = -\frac{2(mU_0)^2 + p_{\parallel}^2(\delta^2 \mp \delta)}{4m(1 \mp \delta)}. \quad (16)$$

Подзона ε_{-1} при всех p_{\parallel} соответствует локализованному состоянию, тогда как подзона ε_{+1} описывает локализованные состояния только пока $\varepsilon_{+1} < -\delta p_{\parallel}^2/2$, так как иначе ξ_- становится мнимым. Таким образом, верхняя ветвь имеет точку окончания, которая определяется уравнением

$$4m\gamma^2 p_{\parallel}^4 - 2\gamma p_{\parallel}^3 + mU_0^2 = 0. \quad (17)$$

С учетом малости $\delta = 2m\gamma p_{\parallel}$ находим для продольного импульса в точке окончания

$$p_{\parallel}^c = (mU_0^2/2\gamma)^{1/3}. \quad (18)$$

Заметим, что должно выполняться условие $2mp_{\parallel}^c\gamma \equiv (2m^2\gamma U_0)^{2/3} \ll 1$. Разумеется, p_{\parallel}^c также должен быть много меньше бриллюэновского импульса.

В случае продольного импульса, направленного вдоль ребра куба (например, $\mathbf{p}_{\parallel} = (p_{\parallel}, 0)$), анализ показывает, что уровень связанных состояний в δ -яме слабо расщепляется, но концевая точка отсутствует, и делокализация не происходит.

Совсем просто решается 3D задача, если воспользоваться приближением работы [5]: $p_{\parallel} \ll |p_z|$, где p_z – мнимый импульс связанных электронов. В этом приближении в гамильтониане (9) в слагаемом СО взаимодействия удерживается лишь первый член. Получающийся гамильтониан диагонализуется спинорами вида

$$\begin{pmatrix} \psi_1(z) \\ \psi_2(z) \end{pmatrix} = \chi_{\mu}(z) \begin{pmatrix} 1 \\ -\mu e^{-i\phi} \end{pmatrix} \frac{1}{\sqrt{2}}, \quad (19)$$

где $\mu = \pm 1$ – спиральность, φ – полярный угол вектора \mathbf{p}_{\parallel} . При этом возникает два независимых 1D уравнения на функции $\chi_{\mu}(z)$:

$$[-d^2/dz^2 + 2m_{\mu}U(z)]\chi_{\mu} = 2m_{\mu}\varepsilon\chi_{\mu}, \quad (20)$$

причем двум спиральностям отвечают две разные эффективные массы:

$$\frac{1}{m_{\mu}} = \frac{1}{m}(1 + \mu\delta), \quad (\delta \ll 1). \quad (21)$$

Сепарацию по спину можно пытаться получить, например, в структуре $\text{Ga}_x\text{Al}_{1-x}\text{As}/\text{A}_3\text{B}_5/\text{Ga}_y\text{Al}_{1-y}\text{As}$. Такой “сэндвич” на зонной диаграмме описывается несимметричной прямоугольной ямой, в которой (в отличие от симметричной) может и не быть связанных состояний. Поэтому, подбирая при данном γ разрывы зон, зависящие от концентраций x, y , можно добиться локализации во внутренней части гетероструктуры частиц лишь определенной спиральности. Хорошо известно, что условием появления первого дискретного уровня в такой яме для электрона с массой m_{μ} является

$$\sqrt{2m_{\mu}a^2U_2} > \arctg\left(\sqrt{\frac{U_1 - U_2}{U_2}}\right), \quad (22)$$

где $U_{1,2}$ – высоты стенок ямы ($U_1 > U_2$), a – ширина ямы. Из (22) можно сделать вывод, что если выполняются неравенства

$$\begin{aligned} \sqrt{2ma^2U_2} \left(1 + \frac{\delta}{2}\right) &> \arctg\left(\sqrt{\frac{U_1 - U_2}{U_2}}\right) > \\ &> \sqrt{2ma^2U_2} \left(1 - \frac{\delta}{2}\right), \end{aligned} \quad (23)$$

то локализуется только электрон со спиральностью $\mu = -1$.

Рассмотрим еще один пример: две δ -ямы на расстоянии a : $U(z) = -U_0[\delta(z) + \delta(z - a)]$. Решая уравнение (20), приходим к дисперсионному уравнению

$$(\kappa_{\mu} - m_{\mu}U_0)^2 = (m_{\mu}U_0)^2 e^{-2\kappa a}, \quad (24)$$

где $\kappa_{\mu} = \sqrt{-2m_{\mu}\varepsilon}$. Из (24) видно, что, при выполнении условия

$$mU_0a(1 - \delta) < 1 < mU_0a(1 + \delta), \quad (25)$$

для спиральности $\mu = -1$ будет два локализованных состояния, в то время как для другого значения спиральности только одно.

3. Влияние магнитного поля. Как видно из геометрии рассматриваемых задач, имеет смысл исследовать случай \mathbf{B}_{\parallel} , то есть поля, параллельного поверхности, а в 3D задаче – параллельного плоскости $z = 0$. В ситуации \mathbf{B}_{\perp} частицы локализуются в плоскости и без добавочного латерального потенциала (например, в представлении заданного момента). Этот случай лежит вне рамок данной работы.

В 3D задаче с гамильтонианом Дрессельхауз поле \mathbf{B}_{\parallel} существенно изменяет орбитальное движение электронов, и поэтому зеемановский вклад (если g -фактор мал) можно не рассматривать. В двухмерном же случае наоборот, \mathbf{B}_{\parallel} влияет только через зеемановский вклад в энергию системы.

Общий случай (произвольные поля и продольный импульс) связан с весьма громоздкими выкладками. Интересуясь здесь лишь качественной стороной дела, рассмотрим опять приближение работы [5]: $p_x l, p_y l \ll 1$, где l – длина локализации волновой функции в направлении оси z , и, кроме того, будем считать магнитное поле не слишком сильным: $l \ll L$, где $L = \sqrt{c/eB_{\parallel}}$ – магнитная длина. Тогда приходим к следующей системе уравнений на компоненты спинора $\psi_{1,2}$ (выбрана калибровка векторного потенциала $A_y = -B_{\parallel}z$, $A_x = A_z = 0$):

$$\begin{aligned} &\left[-\frac{d^2}{dz^2} + \left(p_y - \frac{z}{L^2}\right)^2 + U(z) \right] \psi_{1,2} + \\ &+ 2m\gamma \left[p_{\pm} \frac{d^2}{dz^2} \mp i \frac{1}{L^2} \frac{d}{dz} \left(z \frac{d}{dz}\right) \right] \psi_{2,1} = 2m\varepsilon\psi_{1,2} \quad (26) \end{aligned}$$

($\varepsilon = E - p_x^2/2m$). Сделанные предположения позволяют считать последний член в левой части уравнения (26) малым возмущением, однако здесь удобно включить $p_{\pm} d^2/dz^2$ в основную часть гамильтониана, так что в качестве оператора возмущения остается слагаемое

$$\hat{V}_{\text{pert}} = \frac{\gamma}{L^2} \sigma_y \frac{d}{dz} \left(z \frac{d}{dz}\right). \quad (27)$$

Примем опять модель $U(z) = -U_0\delta(z)$. Невозмущенная часть гамильтониана диагонализуется с помощью спиноров вида (19). Функции $\chi_\mu(z)$ теперь удовлетворяют уравнению

$$\left[-\frac{d^2}{dz^2} + \left(p_y - \frac{z}{L^2} \right)^2 - U_0\delta(z) \right] \chi_\mu = 2m_\mu \varepsilon \chi_\mu. \quad (28)$$

Решения этого уравнения выражаются через функции параболического цилиндра $D_{q_\mu}((z - z_0)\sqrt{2}/L_\mu)$ и $D_{q_\mu}(-(z - z_0)\sqrt{2}/L_\mu)$, где $q_\mu = (\varepsilon/\omega_c)\sqrt{m_\mu/m}$, $\omega_c = eB_{||}/mc$, $L_\mu = L\sqrt{m/m_\mu}$. При $U_0 = 0$ сразу получаем СО-расщепленный спектр Ландау:

$$\varepsilon_{n,\mu} = \left(n + \frac{1}{2} \right) \omega_c \sqrt{\frac{m}{m_\mu}}. \quad (29)$$

С учетом U_0 получаем дисперсионное уравнение

$$\frac{\sqrt{\pi}}{\Gamma(-q_\mu)} = m_\mu L_\mu U_0 D_{q_\mu}(z_0\sqrt{2}/L_\mu) D_{q_\mu}(-z_0\sqrt{2}/L_\mu). \quad (30)$$

Для основного уровня $n = 0$ (все еще без учета возмущения (27)) получается:

$$\varepsilon_{0,\mu} = \omega_c \sqrt{\frac{m_\mu}{m}} \left[\frac{1}{2} - \frac{m_\mu L_\mu U_0}{\sqrt{\pi}} \exp \left(-\sqrt{\frac{m_\mu}{m}} (p_y L)^2 \right) \right]. \quad (31)$$

Здесь мы воспользовались малым отличием m_μ от m и в индексе функций $D_q(t)$ положили для основного состояния $q_\mu = 0$.

Наконец, учитывая \hat{V}_{pert} , получим в первом порядке для двух наименее подзон

$$E_{0,\mu} = \frac{p_x^2}{2m} + \omega_c \sqrt{\frac{m_\mu}{m}} \times \\ \times \left[\frac{1}{2} - \frac{m_\mu^{3/4} m^{1/4} L U_0}{\sqrt{\pi}} \exp \left(-\sqrt{\frac{m_\mu}{m}} (p_y L)^2 \right) \right] - \\ - \mu \gamma \sqrt{\frac{m_\mu}{m}} \frac{p_y^2}{2p_{||} L^2}. \quad (32)$$

Как видно из (32), СО взаимодействие дает два вклада в расщепление подзон Ландау – экспоненциально зависящий от импульса p_y и линейный по продольному импульсу $p_{||}$.

Таким образом, как и следовало ожидать, магнитное поле способствует локализации частицы окон-

то короткодействующего дефекта, которым в данном случае является δ -образная яма: обе функции D_{q_μ} убывают с ростом своих аргументов. Однако радиус локализации и энергия частицы существенно зависят от магнитного поля, и зависимости эти различны для электронов разной спиральности, а следовательно, различными будут и соответствующие числа заполнения. Это и позволит направленно изменять спиновую поляризацию в системе.

В 2D системе включение магнитного поля, направленного по оси x , приводит к модификации слагаемого с σ_x в (1): $\alpha\sigma_x p_y \rightarrow \sigma(\alpha p_y - g\mu_B B/2)$ (g – g -фактор, μ_B – магнетон Бора). Отсюда сразу следует, что спектр локализованных состояний в присутствие магнитного поля дается соотношением

$$E_\mu^{(B)}(p_x, p_y) = \frac{p_y^2}{2m} + \varepsilon_\mu(p_x, p_y - g\mu_B B/2\alpha), \quad (33)$$

где $\varepsilon_\mu(p_x, p_y)$ определяется решением задачи в отсутствие магнитного поля.

Гораздо более громоздкие выкладки связаны со случаем $\mathbf{B} \parallel y$, когда характеристическое уравнение для ξ_\pm становится полным уравнением четвертого порядка. Мы оставляем эту задачу для более подробного анализа в другом месте.

Работа была поддержана грантом Российского фонда фундаментальных исследований и грантом Президента РФ # 593.2003.2 для научных школ, а также программами РАН и Министерства образования и науки. Мы благодарим М. В. Энтина за обсуждения, а также В. Л. Гуревича и В. И. Переля за интерес к нашей работе.

1. V. M. Edelstein, Sol. State. Comm. **73**, 233 (1990).
2. A. G. Aronov, Yu. B. Lyanda-Geller, and G. E. Pikus, ЖЭТФ **100**, 973 (1991).
3. A. V. Chaplik, M. V. Entin, and L. I. Magarill, Physica **E13**, 744 (2002).
4. S. D. Ganichev, E. L. Ivchenko et al., Nature **417**, 153 (2002).
5. V. I. Perel, S. A. Tarasenko et al., Phys. Rev. **B67**, 201304(R) (2003).
6. Yu. A. Bychkov and E. I. Rashba, JETP Lett. **39**, 78 (1984).
7. E. I. Rashba and V. I. Sheka, in *Landau Level Spectroscopy*, Eds. G. Landwehr and E. I. Rashba, Elsevier, 1991, p. 178.
8. G. Dresselhaus, Phys. Rev. **100**, 580 (1955).